

RED DE CONTROL SÍSMICO DE LA CUENCA DEL RÍO ARAGÓN

Parte de actividad quincenal: 16 al 31 de Octubre de 2010

1- RED SÍSMICA

La Red de Control Sísmico de la Cuenca del Río Aragón está compuesta por 16 estaciones de registro de velocidad (corto periodo y banda ancha) y 11 estaciones de registro de aceleración, según se muestra en la Figura 1, divididas en dos zonas. En la actualidad, la situación en la que se encuentra la red es la que se plasma en la Figura 1.

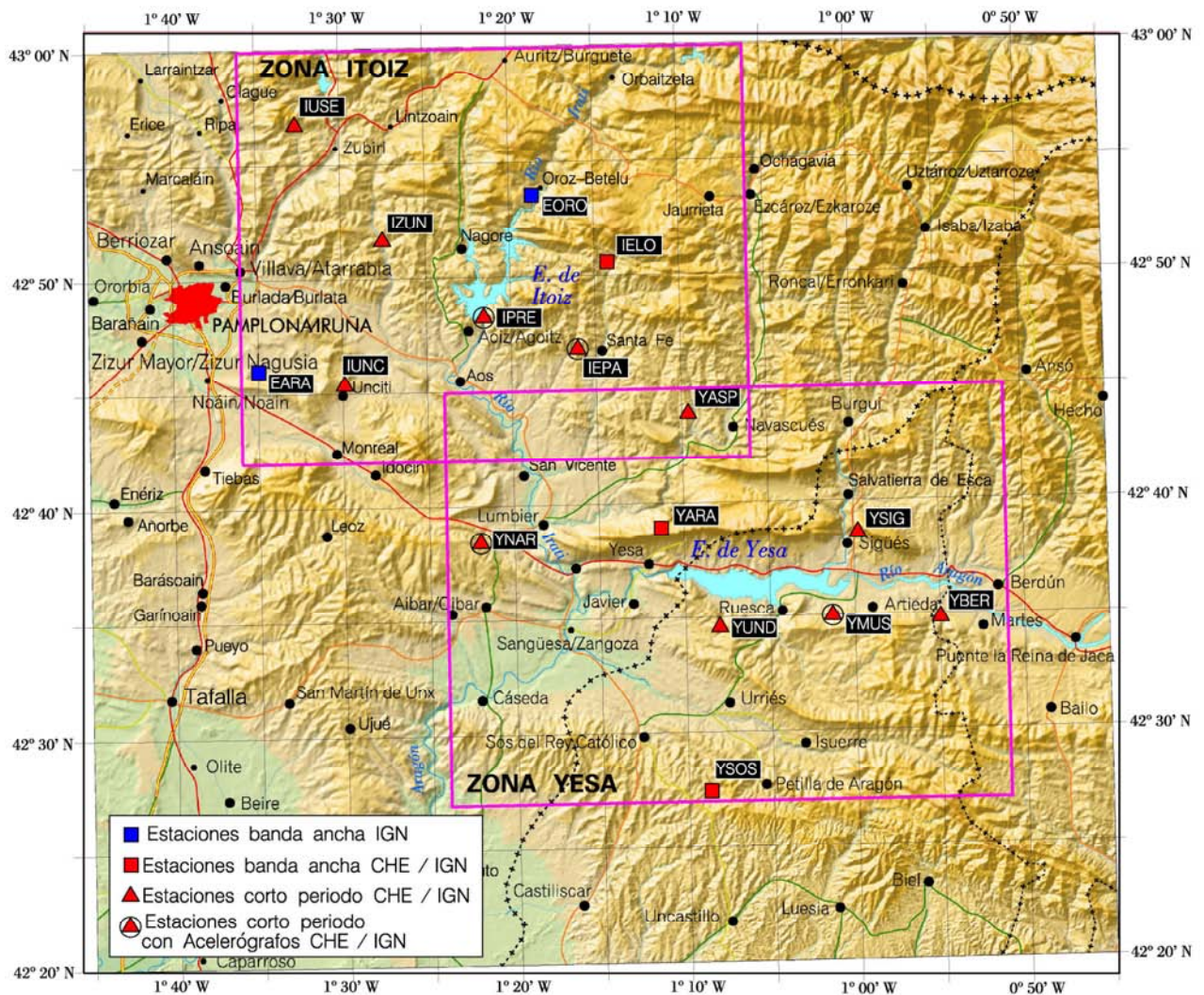


Figura 1.- Configuración y estado de la instalación de la red Sísmica del Río Aragón.

El nivel de operatividad del conjunto de la red ha sido del 76.56% según se muestra en la Figura 2.

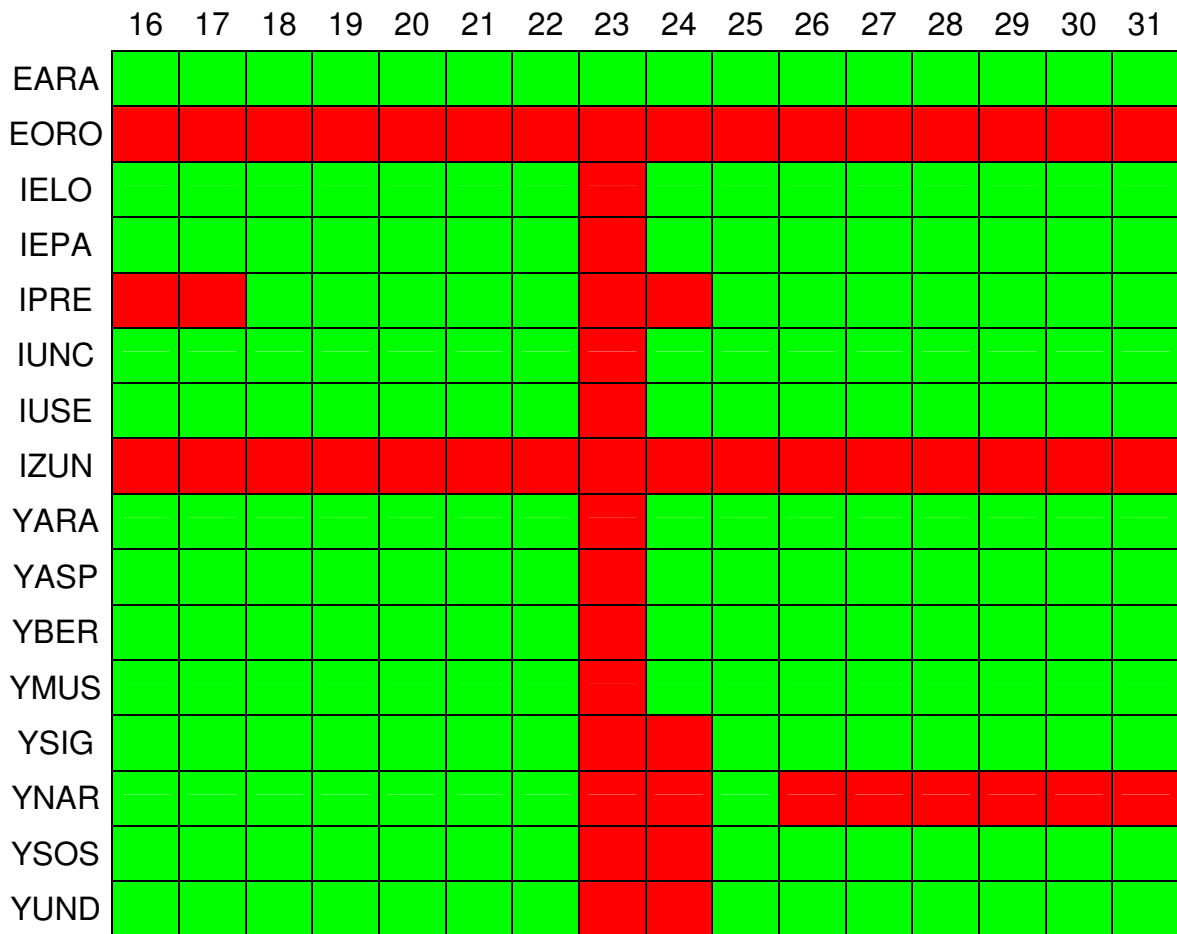


Figura 2.- Operatividad de las estaciones. Se señala en color rojo el periodo de tiempo en el que se interrumpe la secuencia de datos, por problemas en la instrumentación o en la transmisión.

2- ZONA DEL EMBALSE DE ITOIZ (PARALELOS 42.7N-43.0N, MERIDIANOS 1.6W-1.1W)

ACTIVIDAD SÍSMICA DEL PERIODO QUINCENAL 16 AL 31 DE OCTUBRE DE 2010

En este periodo se han localizado en la zona próxima al embalse de Itoiz 20 terremotos entre las magnitudes de 0,6 y 1,4:

Fecha	Hora (TU)	Lat.	Lon.	Mag	Localización
17-oct	01:12:16	42,79	-1,27	0,8	NW SANTA FE.NA
17-oct	06:37:17	42,82	-1,27	0,9	NW SANTA FE.NA
17-oct	23:54:21	42,82	-1,41	0,7	SW NAGORE.NA

18-oct	01:58:34	42,86	-1,39	0,8	NW NAGORE.NA
18-oct	11:35:59	42,84	-1,40	0,9	W NAGORE.NA
18-oct	11:47:11	42,83	-1,39	1,2	SW NAGORE.NA
19-oct	03:44:41	42,83	-1,32	1,0	SE NAGORE.NA
19-oct	22:51:23	42,71	-1,37	1,1	SE ARDANAZ.NA
20-oct	22:37:36	42,83	-1,27	1,4	NW SANTA FE.NA
21-oct	00:53:25	42,80	-1,28	0,6	NW SANTA FE.NA
21-oct	01:56:22	42,80	-1,25	1,0	NW SANTA FE.NA
22-oct	02:41:08	42,84	-1,44	0,9	NE LIZOÁIN.NA
22-oct	13:26:47	42,82	-1,42	0,8	SW NAGORE.NA
24-oct	13:12:15	42,80	-1,31	0,7	E AOIZ/AGOITZ.NA
29-oct	04:55:50	42,70	-1,21	1,0	NE DOMEÑO.NA
29-oct	07:18:51	42,88	-1,42	0,8	NW NAGORE.NA
29-oct	11:06:03	42,79	-1,52	1,0	NE MUTILVA BAJA.NA
29-oct	12:18:15	42,83	-1,41	0,9	SW NAGORE.NA
30-oct	02:54:13	42,94	-1,35	0,6	SW AURITZ.NA
30-oct	04:47:46	42,88	-1,28	0,6	SE OROZ-BETELU.NA

En la Figura 3 se muestra su distribución epicentral.

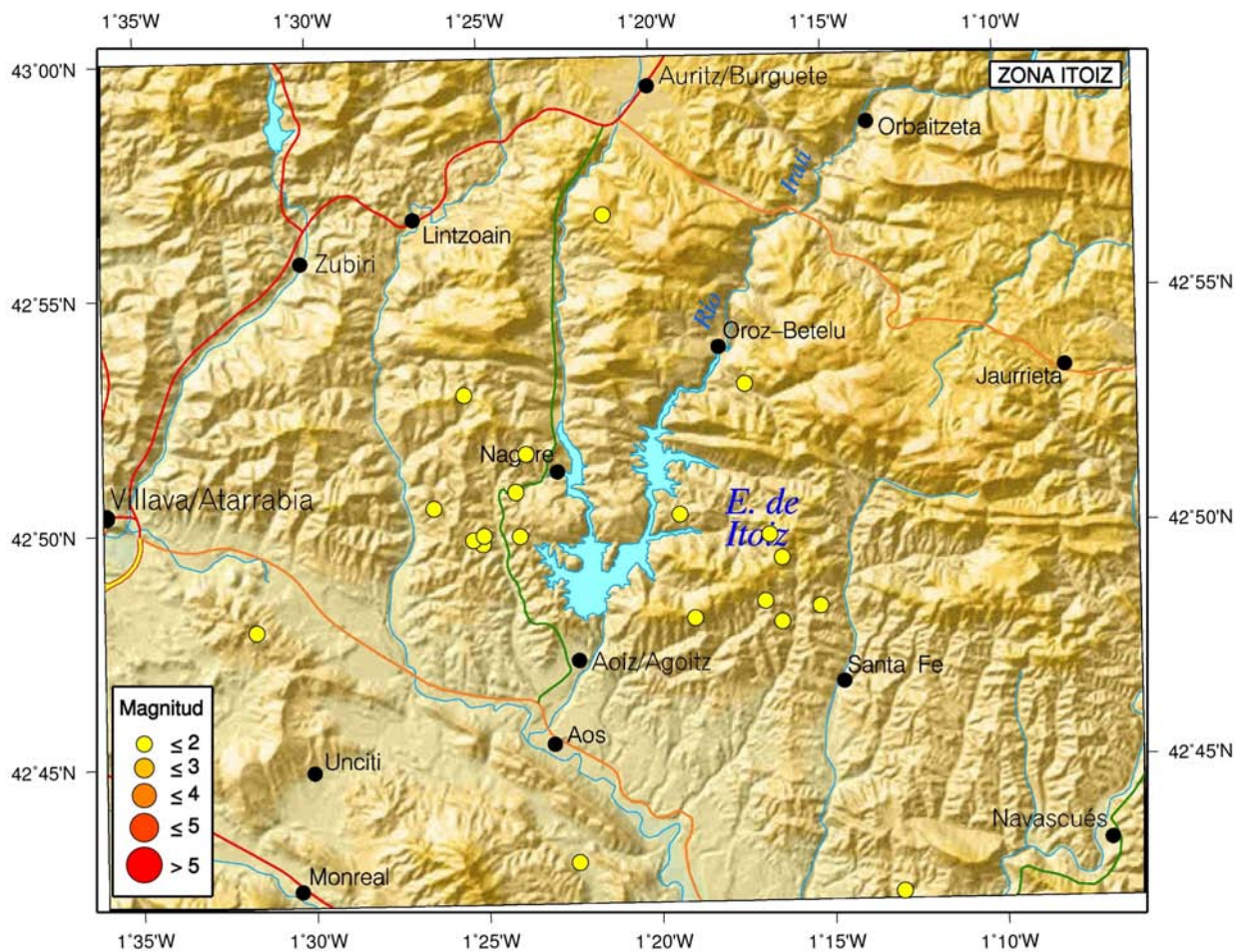


Figura 3.- Terremotos localizados en el periodo del 16 al 31 de octubre de 2010 en la zona de Itoiz, limitada por los paralelos 42,7N-43,0N y los meridianos 1,6W-1,1W.

En la Figura 4 se muestra la distribución temporal de estos terremotos.

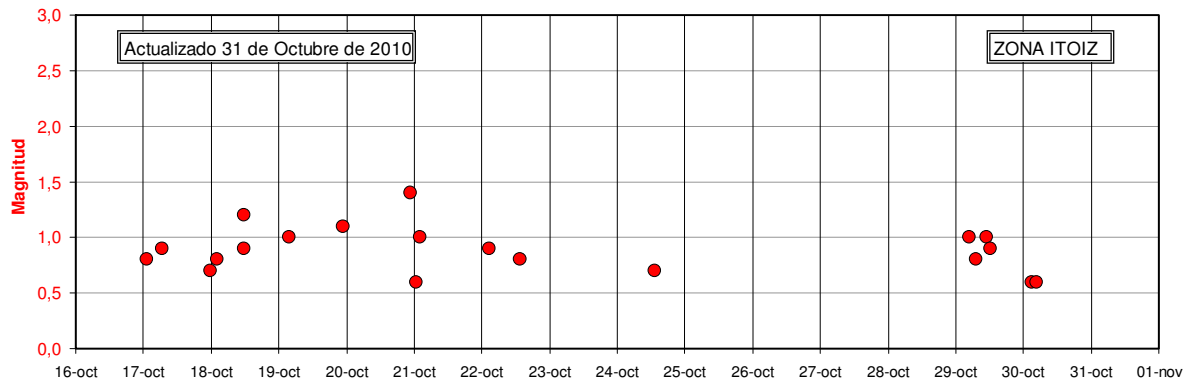


Figura 4.- Distribución temporal de los terremotos localizados en el periodo del 16 al 31 de octubre de 2010 en la zona de Itoiz, limitada por los paralelos 42,7N-43,0N y los meridianos 1,6W-1,1W.

En las Figuras 5 y 6 se muestran sendos gráficos actualizados de la distribución temporal de la actividad sísmica junto con la curva de llenado del embalse de Itoiz.

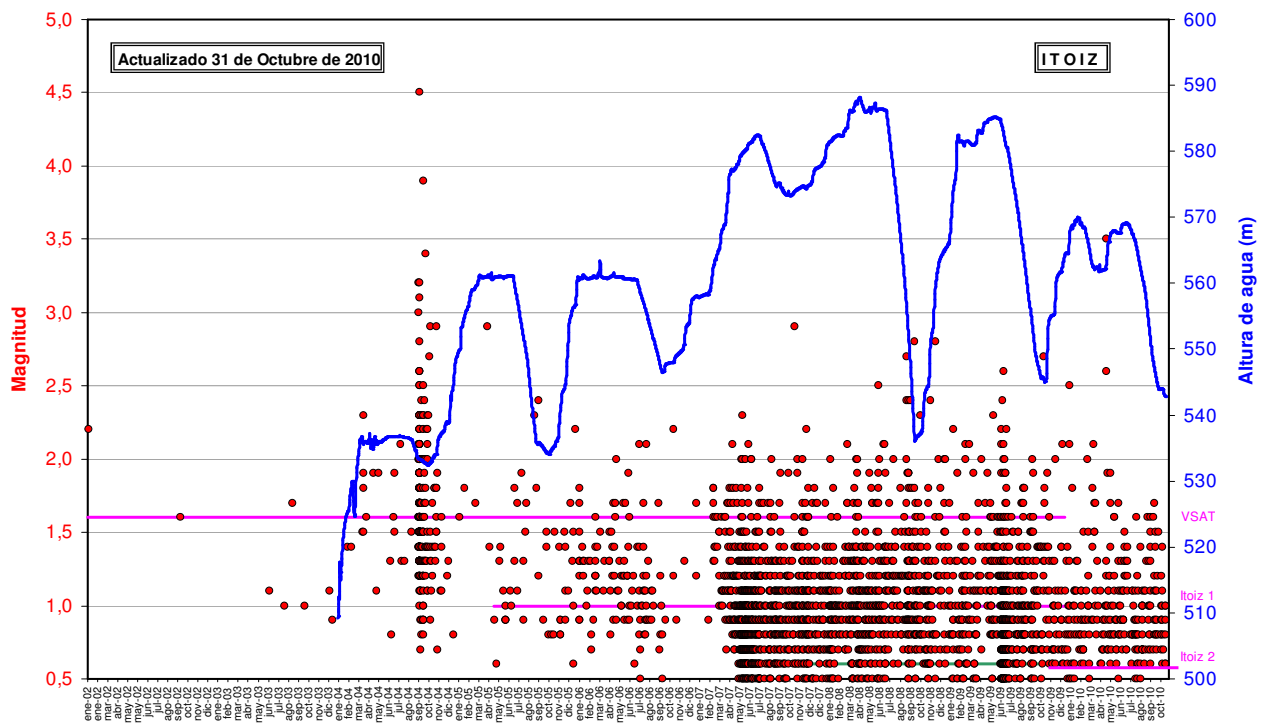


Figura 5.- Distribución temporal de los terremotos localizados en el periodo desde el 1 de enero de 2002 al 31 de octubre de 2010 en la zona de Itoiz, limitada por los paralelos 42,7N-43,0N y los meridianos 1,6W-1,1W, junto con la curva de llenado del embalse de Itoiz.

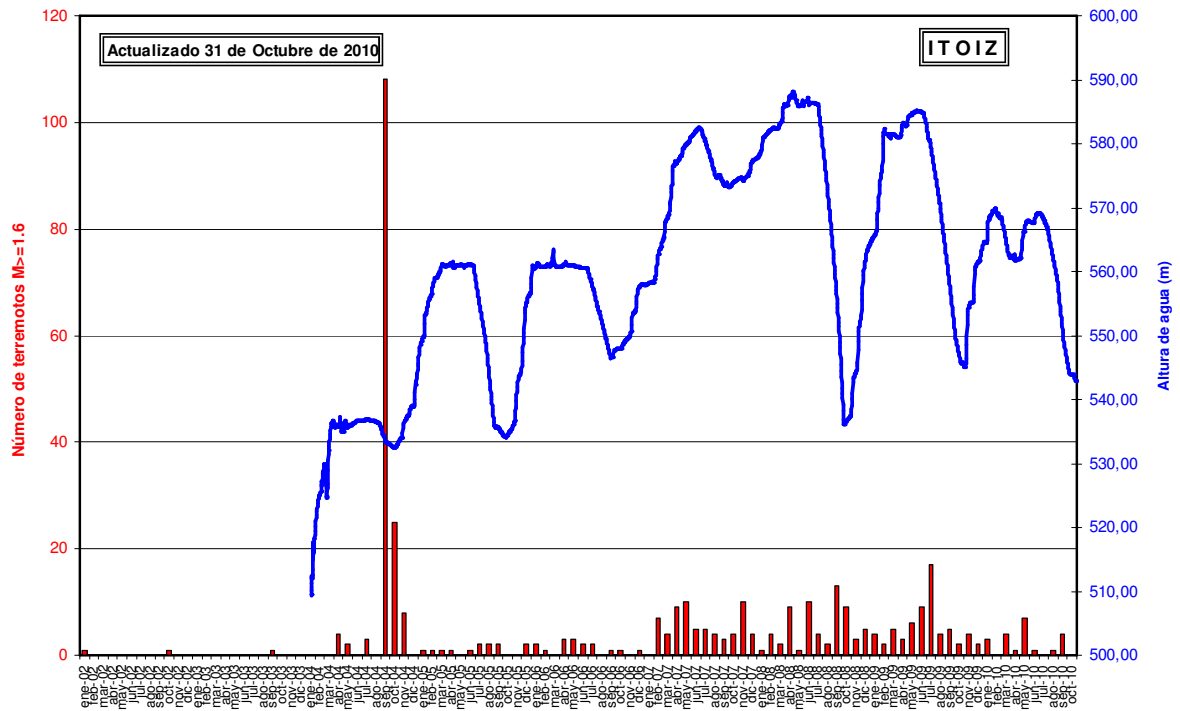


Figura 6.- Distribución temporal del número de terremotos al mes localizados en el periodo desde el 1 de enero de 2002 al 31 de octubre de 2010 en la zona limitada por los paralelos 42,7N -43,0N y los meridianos 1,6W -1,1W, junto con la curva de llenado.

3- ZONA DEL EMBALSE DE YESA (PARALELOS 42.45N-42.75N, MERIDIANOS 1.4W-0.85W)

ACTIVIDAD SÍSMICA DEL PERIODO QUINCENAL 16 AL 31 DE OCTUBRE DE 2010

En este periodo se han localizado en la zona próxima al embalse de Yesa 2 terremotos de magnitudes 0,9 y 1,0:

<u>Fecha</u>	<u>Hora (TU)</u>	<u>Lat.</u>	<u>Lon.</u>	<u>Mag</u>	<u>Localización</u>
25-oct	21:51:19	42,73	-1,06	0,9	NE NAVASCUÉS.NA
29-oct	04:55:50	42,70	-1,21	1,0	NE DOMEÑO.NA

En la Figura 7 se muestra su distribución epicentral.

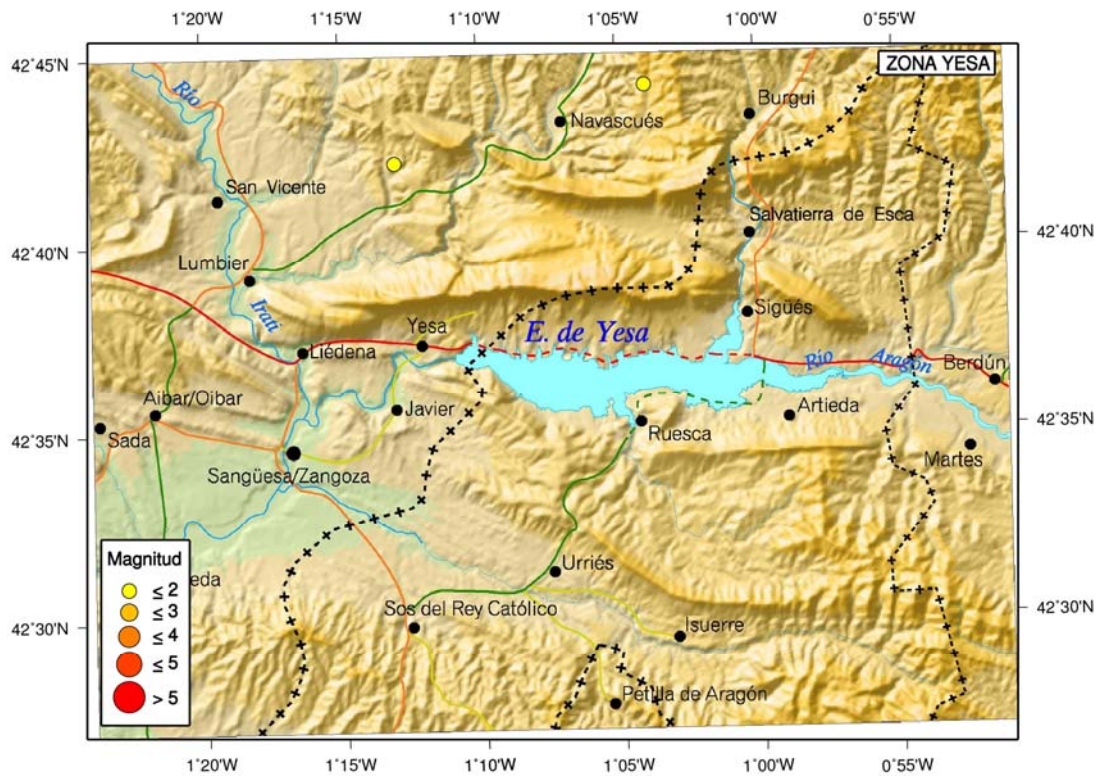


Figura 7.- Terremotos localizados en el periodo del 16 al 31 de octubre de 2010 en la zona de Yesa, limitada por los paralelos 42,45N-42,75N y los meridianos 1,4W-0,85W.

En la Figura 8 se muestra la distribución temporal de estos terremotos.

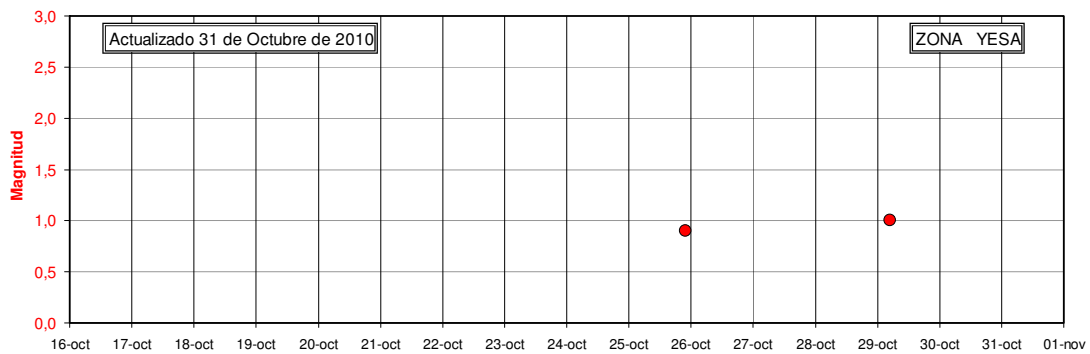


Figura 8.- Distribución temporal de los terremotos localizados en el periodo del 16 al 31 de octubre de 2010 en la zona de Yesa, limitada por los paralelos 42,45N-42,75N y los meridianos 1,4W-0,85W.

En las Figuras 9 y 10 se muestran sendos gráficos actualizados de la distribución temporal de la actividad sísmica junto con la curva de llenado del embalse de Yesa.

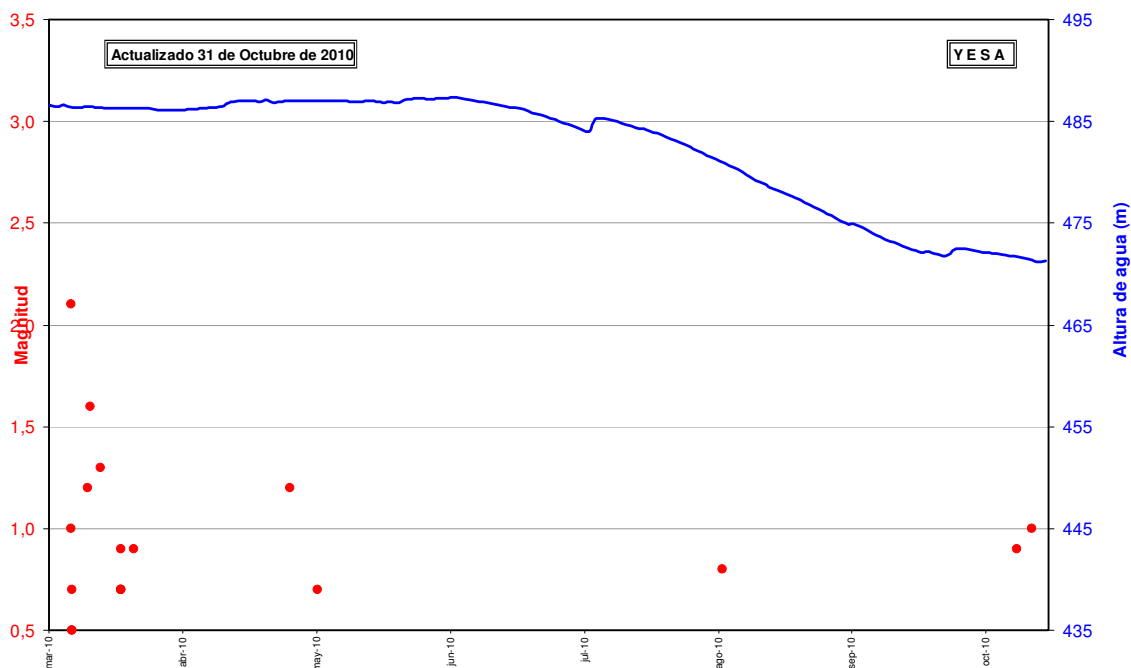


Figura 9.- Distribución temporal de los terremotos localizados en el periodo desde el 1 de febrero de 2010 al 31 de octubre de 2010 en la zona de Yesa, limitada por los paralelos 42,45N-42,75N y los meridianos 1,4W-0,85W, junto con la curva de llenado del embalse de Yesa

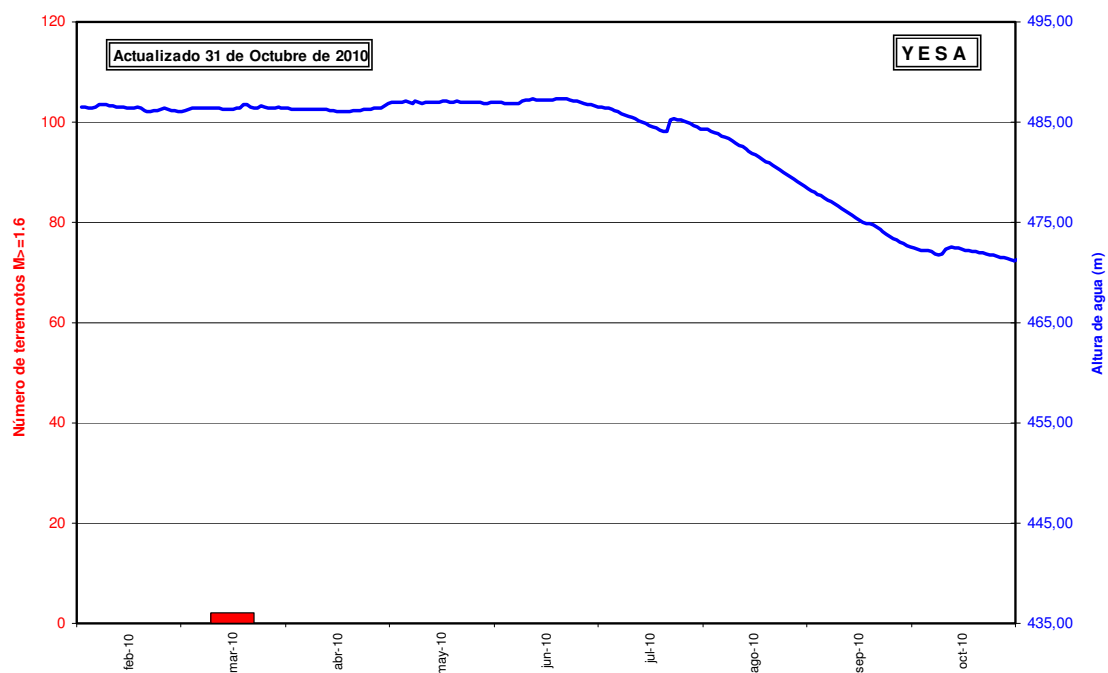


Figura 10.- Distribución temporal del número de terremotos al mes localizados en el periodo desde el 1 de febrero de 2010 al 31 de octubre de 2010 en la zona de Yesa, limitada por los paralelos 42,45N-42,75N y los meridianos 1,4W-0,85W, junto con la curva de llenado del embalse de Yesa.